

- [4] Шпеник О.Б., Советер В.В., Завилопуло А.Н., Запесочный И.П., Контрош Е.Э. // ЖЭТФ. 1976. Т. 42. Вып. 2. С. 42–48.
- [5] Brunt J.N.H., King G.C., Read F.H. // J. Phys. B. 1977. Vol. 10. N 3. P. 433–448.
- [6] Newman D.S., Zubek M., King G.C. // J. Phys. B. 1983. Vol. 16. N 12. P. 2247–2263.
- [7] Fabrikant I.I., Shpenik O.B., Snegursky A.V., Zavilopulo A.N. // Phys. Rep. 1988. Vol. 159. N 1,2. P. 1–97.

Институт ядерных исследований  
Ужгородское отделение

Поступило в Редакцию  
19 июля 1991 г.  
В окончательной редакции  
17 декабря 1991 г.

07;08  
© 1993 г.

Журнал технической физики, т. 63, в. 1, 1993

## КОМБИНИРОВАННОЕ ПЕРЕКЛЮЧЕНИЕ ОПТИЧЕСКИХ КАНАЛОВ $2 \times 2$

B.M. Котов

Переключающие устройства световых каналов — один из важных элементов в системах волоконно-оптических линий связи, обработки информации и т.д.

В [1,2] рассмотрены акустооптические (АО) брэгговские переключатели  $2 \times 2$ , в которых используется анизотропная дифракция света на звуке. В данной работе исследуются АО переключатели  $2 \times 2$ , где используется как анизотропная, так и изотропная дифракция (комбинированное переключение оптических каналов). Такое переключение имеет ряд особенностей, выгодно отличающих эту ситуацию от [1,2].

Будем рассматривать АО переключение в одноосном гиротропном положительном кристалле, индикатрисы которого описываются, согласно [3], с учетом [4]

$$n_1 = n_0(1 - \delta), \\ n_2 \left[ \frac{\cos^2 \Theta_2}{n_0^2(1 + \delta)^2} + \frac{\sin^2 \Theta_2}{n_e^2} \right] = 1, \quad (1)$$

где  $n_1$  и  $n_2$  — показатели преломления обыкновенного и необыкновенного лучей соответственно,  $n_0$  и  $n_e$  — главные показатели преломления кристалла,  $\delta$  — параметр гиротропии,  $\Theta_2$  — угол между волновым вектором необыкновенного луча и оптической осью кристалла.

Пусть переключение осуществляется при помощи двух акустических пучков с волновыми векторами  $q_1$  и  $q_2$  по схеме, предложенной в [1,2]: оба пучка направлены ортогонально оптической оси кристалла и образуют параллелограмм. На рис. 1 приведена векторная диаграмма такого взаимодействия. Акустические пучки  $q_1$  и  $q_2$  лежат в плоскости  $Q$ , ортогональной оптической оси  $OZ$  кристалла. Эта плоскость пересекает оптические индикатрисы кристалла по окружностям  $S_1$  и  $S_2$  (обыкновенных и необыкновенных лучей соответственно). Входные оптические лучи с волновыми векторами  $K_1$  и  $K_2$  (соответственно необыкновенный и обыкновенный) дифрагируют на звуковых волнах  $q_1$  и  $q_2$  в направления  $K_3$

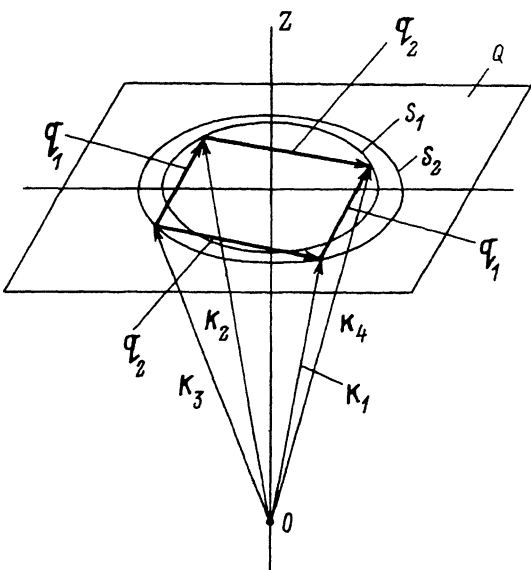


Рис. 1. Векторная диаграмма комбинированного переключения оптических каналов.

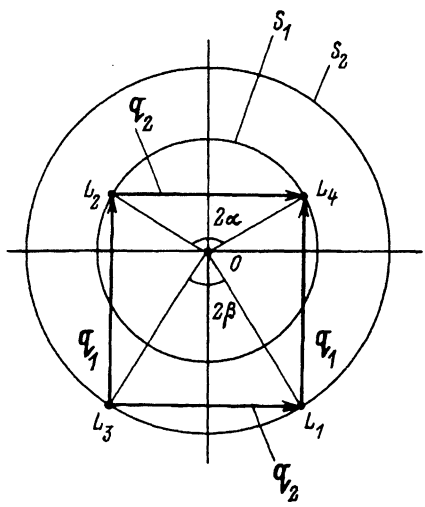


Рис. 2. Векторная диаграмма. Вид со стороны оптической оси.

и  $K_4$ , причем при дифракции на  $q_1$  луч  $K_1$  дифрагирует в  $K_4$ , а  $K_2$  — в  $K_3$  (анизотропная дифракция), а на  $q_2$  выходные лучи меняются местами (изотропная дифракция). Такое взаимодействие, как нетрудно показать, реализуется только в случае, когда концы оптических векторов лежат на вершинах прямоугольника. Поясним это с помощью рис. 2, где показан "вид сверху" на плоскость  $Q$ . Точки  $L_1, L_2, L_3$  и  $L_4$  — концы оптических векторов  $K_1, K_2, K_3$  и  $K_4$  соответственно на плоскости  $Q$ . Точка 0 — "след" оптической оси на этой плоскости, отрезки  $0L_1, 0L_2, 0L_3$  и  $0L_4$  — проекции оптических векторов на  $Q$ .

Пусть  $\Theta_1$  и  $\Theta_2$  — углы между оптической осью  $OZ$  и векторами обычного и необыкновенного лучей соответственно. Тогда

$$K_1 \sin \Theta_1 = 0L_2 = 0L_4 = A,$$

$$K_2 \sin \Theta_2 = 0L_1 = 0L_3 = B, \quad (2)$$

где  $K_1 = 2\pi n_1 \lambda_0^{-1}$ ,  $K_2 = 2\pi n_2 \lambda_0^{-1}$ ,  $\lambda_0$  — длина волны света.

На основании рис. 2 можно записать

$$A \sin \alpha = B \sin \beta = 0.5 \cdot q_2,$$

$$A \cos \alpha + B \cos \beta = q_1, \quad (3)$$

где  $q_1$  и  $q_2$  — величины волновых векторов  $\mathbf{q}_1$  и  $\mathbf{q}_2$ , углы  $\alpha$  и  $\beta$  показаны на рисунке.

Связь между  $A$  и  $B$  дается выражением [4]

$$B^2 \left( \frac{n_0}{n_e} \right)^2 = A^2 + K_1^2 \cdot 4\delta. \quad (4)$$

Решая систему (3), с учетом (4) получим

$$B^4 - 2B^2 R + Q = 0, \quad (5)$$

где

$$R = \left[ q_1^2 \left( \frac{n_0^2}{n_e^2} + 1 \right) + K_1^2 4\delta \left( \frac{n_0^2}{n_e^2} - 1 \right) \right] \cdot \left( \frac{n_0^2}{n_e^2} - 1 \right)^{-2},$$

$$Q = [q_1^2 (q_1^2 + q_2^2) + K_1^2 4\delta (2q_1^2 + K_1^2 4\delta)] \cdot \left( \frac{n_0^2}{n_e^2} - 1 \right)^{-2}. \quad (6)$$

(5) имеет решение при условии

$$R^2 - Q \geq 0, \quad (7)$$

которое после несложных преобразований переходит в

$$q_1^2 - \frac{q_2^2}{4} \left( \frac{n_0}{n_e} - \frac{n_e}{n_0} \right)^2 \geq K_1^2 4\delta \left( \frac{n_e^2}{n_0^2} - 1 \right). \quad (8)$$

Это неравенство выполняется при сколь угодно малой частоте продольного звука ( $q_2 \rightarrow 0$ ), однако для поперечного звука  $q_1$  это неверно. При  $q_2 = 0$  имеем

$$q_1^2 \geq K_1^2 \cdot 4\delta \left( \frac{n_e^2}{n_0^2} - 1 \right). \quad (9)$$

Оптимальный режим переключения, когда достигается максимальная угловая „развязка“ между оптическими каналами, как легко видеть из рис. 2, реализуется при  $q_1 = q_2$ . При этом частоты звука так же достаточно сильно разнесены из-за разности скоростей поперечных и продольных волн. При  $q_1 = q_2$  из (8) имеем

$$q_1^2 \geq K_1^2 \cdot 4\delta \left( \frac{n_e^2}{n_0^2} - 1 \right) \left[ 1 - 0.25 \left( \frac{n_0}{n_e} - \frac{n_e}{n_0} \right)^2 \right]^{-1}. \quad (10)$$

В частности, для  $\text{TeO}_2$  на длине волны  $\lambda_0 = 0.63 \cdot 10^{-4}$  см  $n_0 = 2.26$ ,  $n_e = 2.41$ ,  $\delta = 0.643 \cdot 10^{-4}$ , при скорости звука  $v = 0.6 \cdot 10^5$  см/с имеем  $f \geq 12.8$  МГц.

Переключение оптических каналов было экспериментально осуществлено на базе конструкции, описанной в [2]. В качестве АО материала был выбран монокристалл  $\text{TeO}_2$  с размерами  $8 \times 8 \times 10$  мм вдоль направлений [110],  $[1\bar{1}0]$  и [001] соответственно. Отметим, что в [1,2] переключение  $2 \times 2$  осуществить на одном монокристалле  $\text{TeO}_2$  в принципе невозможно. В [5] приведена схема, где такой вариант возможен, однако при этом эффективность дифракции не может превысить 50%. К грани {110} приклеивался пьезопреобразователь из  $\text{LiNbO}_3$ , генерирующий сдвиговую волну с направлением сдвига вдоль  $[1\bar{1}0]$  и частотой  $\sim 20$  МГц, а вдоль  $[110]$  генерировалась продольная волна пьезопреобразователем из того же материала с частотой  $\sim 150$  МГц (5-я гармоника преобразователя). Скорость продольной волны  $v_L = 4.66 \cdot 10^5$  см/с, поперечной  $v_S = 0.6 \cdot 10^5$  см/с. На поперечной волне осуществлялась анизотропная дифракция (эффективность которой при  $P_{\text{вл}} = 0.5$  Вт составила 90%), а на продольной — изотропная (с эффективностью  $\sim 35\%$  при  $P_{\text{вл}} = 1$  Вт). Реальная "развязка" между каналами составила 40 дБ (что на 40 дБ хуже по сравнению с теоретической). Это можно объяснить рассеянием внутри кристалла, неоднородностями звукового и оптического полей, несовершенством "просветляющих" покрытий.

В целом теоретические расчеты показывают, что предложенное переключение по ряду параметров ("развязка" между каналами, возможность реализации переключения на базе одного АО кристалла) превосходит аналогичную схему, предложенную в [1,2], и может найти самое широкое применение на практике.

#### Список литературы

- [1] Антонов С.Н., Гулляев Ю.В., Котов В.М., Поручиков П.В. // РиЭ. 1987. Т. 32. № 3. С. 623–628.
- [2] Антонов С.Н., Котов В.М. Препринт ИРЭ АН СССР. № 6 (465). М., 1987.
- [3] Warner A. W., White D. L., Bonner W. A. // J. Appl. Phys. 1972. Vol. 43. N 11. P. 4489–4495.
- [4] Антонов С.Н., Котов В.М. Препринт ИРЭ АН СССР. № 3 (554). М., 1991.
- [5] Антонов С.Н., Котов В.М., Панченков Б.Б. // ЖТФ. 1988. Т 58. Вып. 11. С. 2275–2276.

Институт радиотехники и электроники  
Фрязинская часть

Поступило в Редакцию  
26 июля 1991 г.